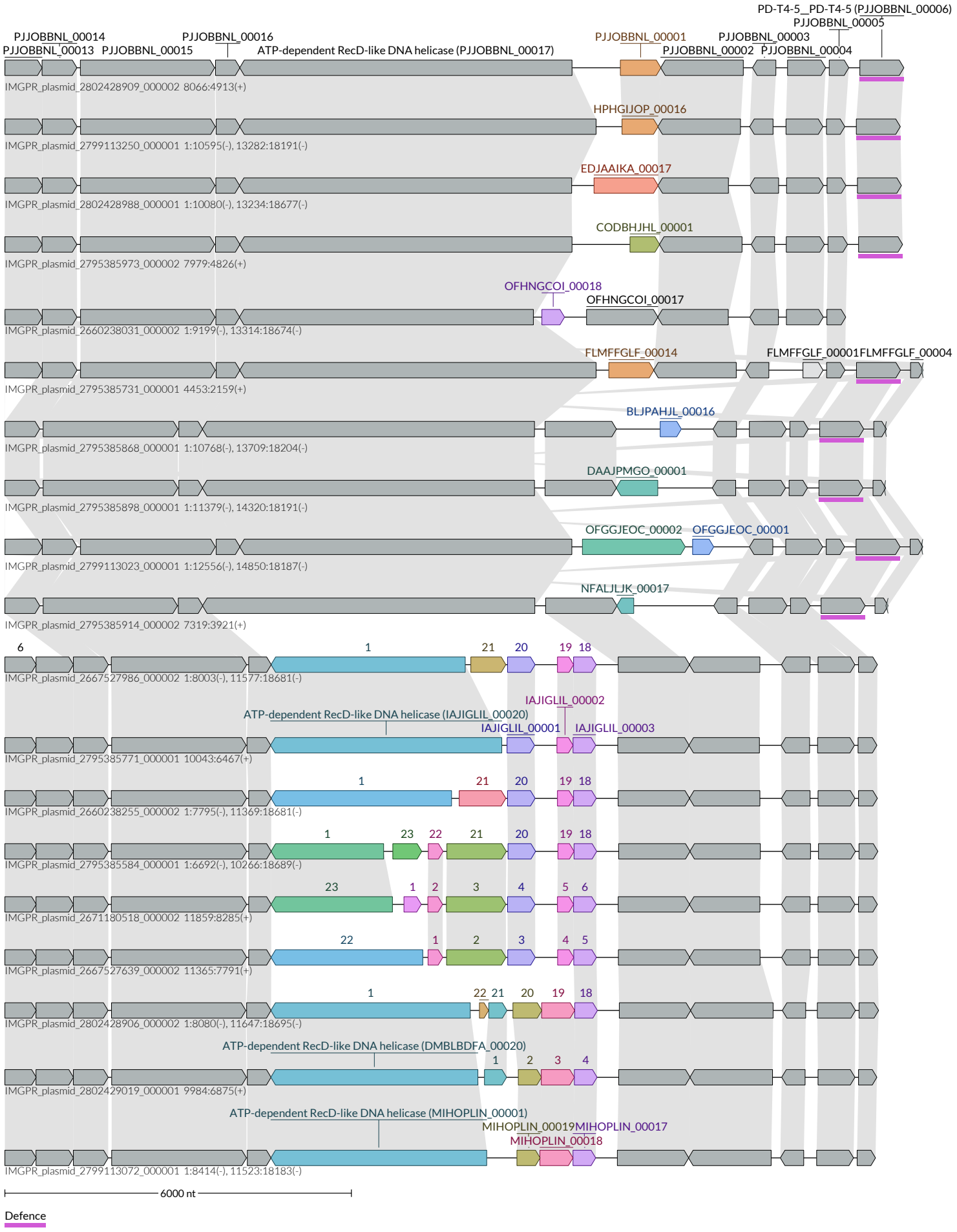
PD-T4-5__PD-T4-5 (PJJOBBNL_00006)
PJJOBBNL_00005
PJJOBBNL_00014
PJJOBBNL_00013
PJJOBBNL_00015
PJJOBBNL_00016
ATP-dependent RecD-like DNA helicase (PJJOBBNL_00017)
PJJOBBNL_00001
PJJOBBNL_00002
PJJOBBNL_00003
PJJOBBNL_00004
IMGPR_plasmid_2802428909_000002 8066:4913(+)
HPHGIJOP_00016
IMGPR_plasmid_2799113250_000001 1:10595(-), 13282:18191(-)
EDJAAIKA_00017
IMGPR_plasmid_2802428988_000001 1:10080(-), 13234:18677(-)
CODBHJHL_00001
IMGPR_plasmid_2795385973_000002 7979:4826(+)
OFHNGCOI_00018
OFHNGCOI_00017
IMGPR_plasmid_2660238031_000002 1:9199(-), 13314:18674(-)
FLMFFGLF_00014
FLMFFGLF_00001
FLMFFGLF_00004
IMGPR_plasmid_2795385731_000001 4453:2159(+)
BLJPAHJL_00016
IMGPR_plasmid_2795385868_000001 1:10768(-), 13709:18204(-)
DAAJPMGO_00001
IMGPR_plasmid_2795385898_000001 1:11379(-), 14320:18191(-)
OFGGJEOC_00002
OFGGJEOC_00001
IMGPR_plasmid_2799113023_000001 1:12556(-), 14850:18187(-)
NFALJLJK_00017
IMGPR_plasmid_2795385914_000002 7319:3921(+)
6
1
21
20
19
18
IMGPR_plasmid_2667527986_000002 1:8003(-), 11577:18681(-)
IAJIGLIL_00002
ATP-dependent RecD-like DNA helicase (IAJIGLIL_00020)
IAJIGLIL_00001
IAJIGLIL_00003
IMGPR_plasmid_2795385771_000001 10043:6467(+)
1
21
20
19
18
IMGPR_plasmid_2660238255_000002 1:7795(-), 11369:18681(-)
1
23
22
21
20
19
18
IMGPR_plasmid_2795385584_000001 1:6692(-), 10266:18689(-)
23
1
2
3
4
5
6
IMGPR_plasmid_2671180518_000002 11859:8285(+)
22
1
2
3
4
5
IMGPR_plasmid_2667527639_000002 11365:7791(+)
1
22
21
20
19
18
IMGPR_plasmid_2802428906_000002 1:8080(-), 11647:18695(-)
ATP-dependent RecD-like DNA helicase (DMBLBDFA_00020)
1
2
3
4
IMGPR_plasmid_2802429019_000001 9984:6875(+)
ATP-dependent RecD-like DNA helicase (MIHOPLIN_00001)
MIHOPLIN_00019
MIHOPLIN_00017
MIHOPLIN_00018
IMGPR_plasmid_2799113072_000001 1:8414(-), 11523:18183(-)
6000 nt
Defence